

کانه‌زایی کرومیت و ایلمنیت در مجموعه‌های افیولیتی کردستان، رهیافتی جهت تعیین جایگاه ژئوتکتونیکی مجموعه‌های افیولیتی مورد مطالعه

محمدعلی رجب‌زاده^۱* و محمد امینی^۲^۱ گروه علوم زمین، دانشکده علوم، دانشگاه شیراز، شیراز، ایران^۲ دانشکده زمین‌شناسی، پردیس علوم، دانشگاه تهران، تهران، ایران

چکیده

در پژوهش حاضر، برای نخستین بار حضور اندیس‌های کرومیتیت انبانه‌ای در بخش‌های افیولیتی شهرستان مریوان گزارش می‌شود. اندیس‌های کرومیتیت همراه با سنگ‌های افیولیتی نوع دونیت و هارزبوزیت بوده و اغلب با فابریک تودهای گرانولار در جنوب باخته شهر مریوان رخنمون دارند. شیمی کانی کروم-اسپینل در سه اندیس کرومیتیتی مورد مطالعه در این منطقه نشان می‌دهد که میزان عدد کروم برای دو ذخیره، عددی بالا (میانگین ۰/۸۵) با میزان TiO_2 ۰/۰۱ با پیمان پایین (۰/۰۱) و برای ذخیره دیگر میزان عدد کروم پایین (۰/۷۶) و با میزان میانگین TiO_2 پیشتر (۰/۰۵) است. این موضوع نشان می‌دهد که اندیس‌های کرومیتیت و به تبع آن مجموعه افیولیتی در دو خاستگاه متفاوت ژئوتکتونیکی شامل یک محیط پشتۀ میان‌اقیانوسی از یک ماگمای تولثی و یک محیط بالای فروفراراش از یک ماگمای یونینیتی تکوین یافته‌اند. Cr_2O_3 کرومیت‌های مورد مطالعه در دامنه ۲۸/۴ الی ۵۰ درصد وزنی متغیر است. تشکیل این اندیس‌ها و سنگ‌های میان در پاسخ به واگرایی سریع پوسته اقیانوسی و سپس حرکت همگرایی صفحات زمین‌ساختی و بسته شدن اقیانوس تیس جوان صورت گرفته است. همچنین طیف گستره‌های از گابروها شامل گابرو درشت بلور، ملاگابرو و میکروگابرو در سه منطقه شمال باخته کامیاران (روستای یخته خان)، خاور سروآباد (روستای میانه) و جنوب باخته مریوان (روستاهای در گاشیخان-ویسه)، میان کانی‌های ایلمنیت، مگنتیت و تیتانیت هستند. ایلمنیت در هر سه منطقه و کانی‌های مگنتیت و تیتانیت تنها در خاور سروآباد مشاهده شده‌اند. ترکیب شیمیایی کانی ایلمنیت نشان می‌دهد که متوسط میزان درصد وزنی TiO_2 از کامیاران (۰/۹۱) به سمت سروآباد (۰/۹۶) و سپس مریوان (۰/۹۷) افزایش می‌یابد. این کانی‌ها به صورت ریزدانه تا متوسط دانه (تا ۱/۵ میلی‌متر) و اغلب آمیبی شکل، بی‌شکل و به میزان کمتر نیمه خودشکل به صورت بین بلوری ایجاد شده‌اند. با توجه به شواهد بافتی و شیمی کانی، کانه‌زایی تیتانیم در نتیجه اکسایش ماگما و تشکیل قطرات سیال غیرقابل آمیزش غنی از آهن و تیتانیم، پس از تبلور پلازیو کلار صورت گرفته است.

اطلاعات مقاله

تاریخچه مقاله:

تاریخ دریافت: ۱۴۰۰/۰۷/۳۰

تاریخ پذیرش: ۱۴۰۰/۱۰/۲۰

تاریخ انتشار: ۱۴۰۱/۰۷/۰۱

کلیدواژه‌ها:

کانه‌زایی

کرومیت

ایلمنیت

افیولیت

جایگاه ژئوتکتونیکی

کردستان

و ماهیت ماگمای مادر، تحول زمین‌شیمیایی سامانه کانه‌زایی و واکنش مذاب با سنگ‌های مسیر صعود ماگما مورد استفاده قرار می‌گیرد (Ismail et al., 2010; Rajabzadeh and Moosavinasab, 2012).

توده‌های گابرویی موجود در مجموعه‌های افیولیتی نیز افزون بر این که اطلاعات ارزشمندی از ماهیت گوشته و پوسته اقیانوسی در اختیار زمین‌شناسان قرار می‌دهند، از نظر کانه‌زایی فلزاتی مانند تیتانیم حائز اهمیت هستند (قریانی و رجب‌زاده، ۱۳۹۰). باور بر این است که افیولیت‌های غنی از تیتانیم از نظر زمین‌شیمیایی و سنگ‌ساختی در حوضه‌های اصلی اقیانوسی در محل تیغه‌های گسترش میان اقیانوسی و یا در مراحل میانی تا پایانی بازشدگی حوضه‌های پشت کمانی ایجاد می‌شوند؛ در حالی که انواع فقیر آن از تبلور ماگماهایی که نشان دهنده مراحل آغازین بازشدگی هستند به وجود می‌آیند (Rajish et al., 2004). ایلمنیت به عنوان مهم‌ترین کانی ماگمایی تیتانیم (Force, 1991) به صورت ذخایر معدنی رگه‌ای و یا لایه‌ای در بخش‌های حاشیه‌ای

مجموعه‌های افیولیتی قطعاتی از لیتوسفر اقیانوسی در نظر گرفته می‌شوند و شواهدی از مراحل تشکیل ریفت، گسترش کف اقیانوس، آغاز فرورانش و در نهایت بسته شدن حوضه‌های اقیانوسی را در خود حفظ کرده‌اند (Dilek and Furnes., 2014). همچنین آثار فعالیت سیال‌های ماگمایی و گرمابی تأخیری در مناطقی که سرعت باز شدن و سپس بسته شدن پوسته اقیانوسی بالا باشد به خوبی در سنگ‌های مختلف مجموعه‌های افیولیتی دیده می‌شوند، که این موضوع به گرم ماندن سنگ‌های افیولیتی در زمان جایگیری تا میلیون‌ها سال پس از تشکیل مربوط می‌شود (Rajabzadeh, 1998). ذخایر کرومیتیت، رایج ترین مواد معدنی همراه با مجموعه‌های افیولیتی بوده که اغلب در بخش بالایی سنگ‌های گوشته‌ای به نام منطقه‌انتقالی (Transitional Zone) (Johnson, 2012) قرار دارند (Rajabzadeh, 2012). کانی کروم-اسپینل، بدلیل مقاومت بالا در برابر دگرسانی در سنگ‌های میان‌گاهی میان اسنگ‌ساختی قابل اعتماد به منظور تعیین ترکیب گوشته اولیه، درجه ذوب بخشی

doi: 10.22071/GSJ.2022.308944.1941

dor: 20.1001.1.10237429.1401.32.3.5.9

This is an open access article under the by-nc/4.0/ License (<https://creativecommons.org/licenses/by-nc/4.0/>)

* نویسنده مسئول: محمدعلی رجب‌زاده؛ E-mail: mrajabzadeh@shirazu.ac.ir

حقوق معنوی مقاله برای فصلنامه علوم زمین و نویسنده‌گان مقاله محفوظ است.

کانه‌های اکسیدی و اکسیدی تیتانیم دار (ایلمنیت و تیتانیت) آنالیز شدند و محلهای آنالیز نقطه‌ای به نحوی انتخاب شدند که هم مناطق مرکزی بلور و هم حاشیه آنها مورد تعیزیه قرار گیرند.

۳-زمین‌شناسی منطقه

۳-۱-نقشه زمین‌شناسی

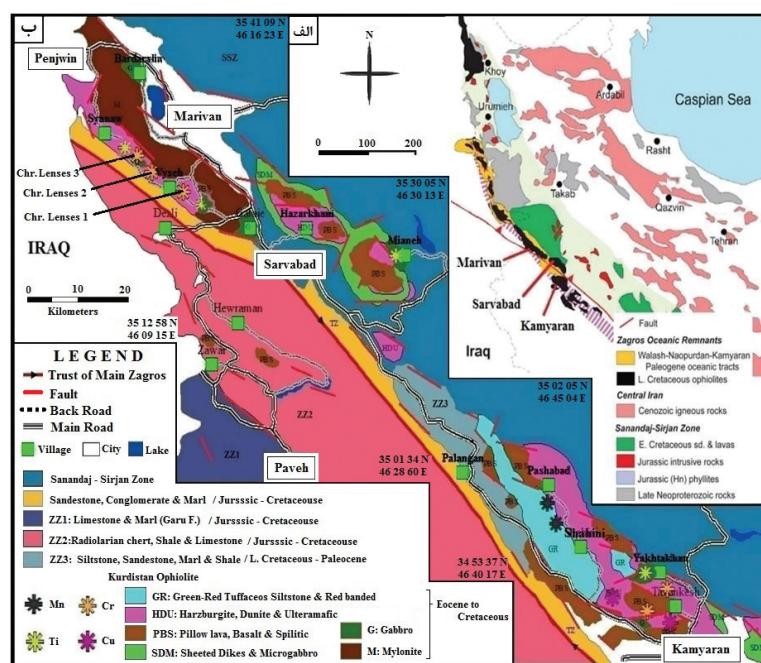
مجموعه‌های افیولیتی زاگرس ایران، در امتداد روراندگی اصلی زاگرس به صورت بخشی از کمربند افیولیتی نتوتیس با طولی بیش از ۲۰۰۰ کیلومتر در نظر گرفته می‌شوند که از قبرس تا عمان ادامه دارند و به افیولیت‌های تیتانیت خاورمیانه شهرت دارند (Shafaii Moghadam et al., 2013). مجموعه‌های افیولیتی کرمانشاه-کردستان، در باختر ایران به عنوان بخشی از افیولیت‌های زاگرس شناخته می‌شوند که در محدوده شهرستان‌های الشتر، نورآباد، صحنه، هرسین، کامیاران، سروآباد و مریوان رخنمون یافته و در ادامه به مجموعه‌های افیولیتی پنجوین و ماوات در اقلیم کردستان عراق می‌پیوندند (Allahyari et al., 2014). در قسمت شمالی افیولیت کردستان (شکل ۱-الف)، افیولیت خوی واقع است و در برگیرنده چندین توده کرومیتیت انباهه‌ای می‌باشد (اما معالی پور، ۱۳۹۰). سنگ‌های افیولیتی مورد مطالعه در محور شهرستان‌های کامیاران-سروآباد-مریوان در استان کردستان و در امتداد راندگی (تراست) اصلی زاگرس بین افیولیت‌های صحنه-هرسین در استان کرمانشاه و پنجوین اقلیم کردستان کشور عراق قرار داشته و می‌توان آنها را با نام افیولیت کردستان معرفی کرد. در قسمت باختری محور مورد مطالعه، زاگرس مرتفع قرار دارد که از سنگ‌های آهکی بیستون-اورامان و پاوه-دزلي تشکیل شده است. در خاور محور نیز سنگ‌های دگرگونی زون سندچ-سیرجان واقع شده‌اند (شکل ۱-ب). واحدهای سنگی موجود در مناطق مورد مطالعه را می‌توان به دو گروه مجموعه سنگ‌های افیولیتی و غیرافیولیتی تقسیم کرد. سنگ‌های افیولیتی متشكل از بخش‌های گوشته‌ای و پوسته‌ای هستند که به ترتیب شامل سنگ‌های پریدوتیتی (بیشتر از نوع هزارزبوریت و دونیت) و مافیکی (گابرو، گدازه‌های بالشی و دایک‌های دیابازی) می‌شوند.

و یا به صورت عدسی شکل محصور شده درون توده‌های گابرویی-آنرتوزیتی ایجاد می‌شود.

بیشتر مطالعات و پژوهش‌های پیشین در مناطق مورد مطالعه با سنگ‌شناختی سنگ‌های گابرویی، جنبه‌های ژئوتکنیکی و سن‌سنجی می‌باشد. در این پژوهش به کانه‌زایی کانه‌های کروم‌دار و تیتانیم‌دار در سنگ‌های اولترامافیک-مافیک مجموعه‌های افیولیتی استان کردستان پرداخته شده است. در این مقاله همچنین از داده‌های کانه‌زایی فلزی با هدف شناسایی محیط ژئوتکنیکی افیولیت‌های مورد مطالعه و روند کانه‌زایی و تغییرات سنگ‌شناختی در تشکیل مجموعه‌های افیولیتی کردستان در باختر کشور بهره گرفته شده و در این راستا از ترکیب شیمیایی کانه‌های کدر (اپک) و شواهد کانه‌شناسی سیلیکاتی سنگ‌شناختی استفاده شده است. پیش از این، رحیم‌زاده و همکاران (۱۳۹۸) به پتروژنر و تعیین محیط زمین‌ساختی مجموعه افیولیتی نیاباد - قلعه‌جی از مجموعه سروآباد پرداخته و بر این باورند که ماگماتیسم بونیتی در مجموعه سروآباد به وسیله ذوب‌بخشی پریدوتیت‌های تهی شده حاصل از یک گوشته باقی مانده پس از خروج گدازه نوع MORB، تشکیل شده است. این مطالعه همچنین در فراهم سازی مقامات توجه به پتانسیل‌هایمعدنی منطقه نظری اندیس‌های کرومیت و تیتانیم دارای اهمیت است.

۲-روش پژوهش

از تمام واحدهای سنگی، نمونه‌های لازم در امتداد پیمایش‌های هدفمند به نحوی برداشت شده است که تمام واحدهای سنگی را در بر گیرند. مطالعات سنگ‌شناختی و کانه‌شناسی بر روی مقاطع نازک، نازک‌صیقلی و صیقلی به روشهای معمول میکروسکوپ نوری انکساری و انکساری انجام گرفته است. از نمونه‌های مناسب تعداد ۳۰ مقطع نازک و صیقلی انتخاب شدند. نمونه‌ها با طلا پوشش داده شدند و جهت تشخیص شیمی کانه‌های کدر و سیلیکاتی با استفاده از میکروسکوپ الکترونی (SEM-EDX) (مدل TESCAN-Vega) در آزمایشگاه مرکزی دانشگاه شیراز مورد آنالیز قرار گرفتند. در این مطالعه تعداد ۳۵ نقطه بر روی کانه‌های کروم-اسپینل (بیشتر در مرکز بلور مورد مطالعه قرار گرفتند)، تعداد ۴۵ نقطه بر روی

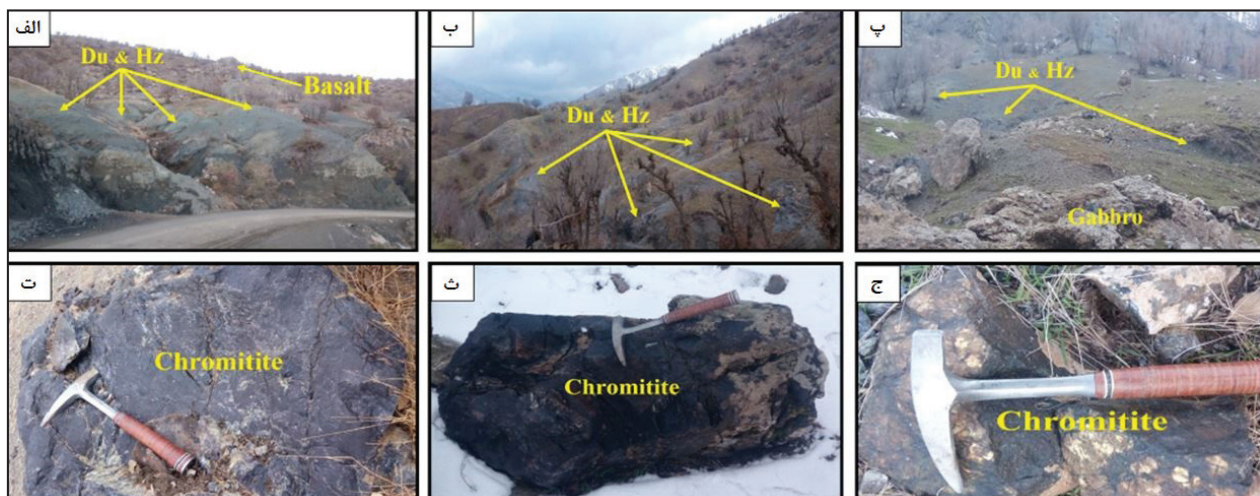


شکل ۱-الف) نقشه زمین‌شناسی و موقعیت مناطق افیولیتی باختر ایران برگرفته از امامی و همکاران (Emami et al., 1993) (ب) نقشه زمین‌شناسی ساده محور افیولیتی کامیاران-سروآباد-مریوان برگرفته از شفایی مقدم و همکاران (Shafaii Moghadam et al., 2020) (با اعمال تغییراتی اندک).

کیلومتر از هم می باشدند. این اندیس های معدنی بیشتر توسط سنگ های سرپانتینیت دربر گرفته شده اند. سنگ دونیت به دلیل دگرسانی بسیار شدید در مشاهدات میدانی با رنگ زرد کم رنگ از سنگ های تیره خشن آهکی و هارزبورژیتی قابل تشخیص است (شکل ۲-الف). اندیس های کرومیتی اغلب به شکل انتشاری و پراکنده و نیز اندازه آنها در رخمنون های سطحی دارای ابعادی به عرض حدود ۰/۵ متر و طول حداقل ۱ متر می باشدند (شکل ۲-ب). اندیس کرومیتی با هم بر گسلی در یک منطقه همراه با سنگ های گابرویی نیز مشاهده می شود (شکل ۲-پ). بر اساس مطالعات صحرایی، هارزبورژیت های به شدت سرپانتینیتی شده بیشترین حجم سنگ های اولترامافیک را در منطقه افیولیتی جنوب باخته مریوان تشکیل می دهند. مرز بین سنگ های کرومیتی، دونیتی و هارزبورژیتی اغلب ناگهانی و مشخص است، هرچند در برخی قسمت ها حالت تدریجی نیز دیده می شود. در شکل ۲-ت، ۲-و ۲-ث نمونه هایی از عدیس های کرومیتی در هر یک از اندیس های ۱، ۲ و ۳ قابل مشاهده می باشند.

۳-۲-گرومیت در مجموعه های افیولیتی مورد مطالعه

بر اساس مشاهدات صحرایی، سنگ های فلیشی به طور دگرشیب بر روی سنگ های افیولیتی قرار گرفته اند. سنگ های توالی پوسته ای این منطقه شوشت تولیتی تا کالک آکالان می باشند، این سنگ های بیشتر در گستره ترکیبی میان اقیانوسی و گاه کمان آتشفانی قرار دارند و پیدایش افیولیت های این منطقه را در یک پهنه اقیانوسی در مرز قاره اقیانوس در بخش شمالی نتوتیس در نظر گرفته اند (رحمی زاده و همکاران، ۱۳۹۲ الف). رحمی زاده و همکاران (۱۳۹۸)، به بررسی پتروژئو و محیط ساختاری مجموعه افیولیتی سروآباد پرداخته اند و بر این باورند که به دلیل حضور همزمان گسل اصلی زاگرس و گسل جوان زاگرس در منطقه، بخش گوشته ای به شدت به هم ریخته و سرپانتینیتی و برشی شده است و درون خمیره سرپانتینیتی قطعات بسیار مختلفی از سنگ های گوناگون بی ریشه دیده می شود که از جمله آنها می توان به عدیس های کوچک کرومیت اشاره کرد. سنگ های هارزبورژیتی در منطقه جنوب باخته شهرستان مریوان میزان ۳ اندیس کرومیتی انبانه ای به فواصل تقریبی ۲

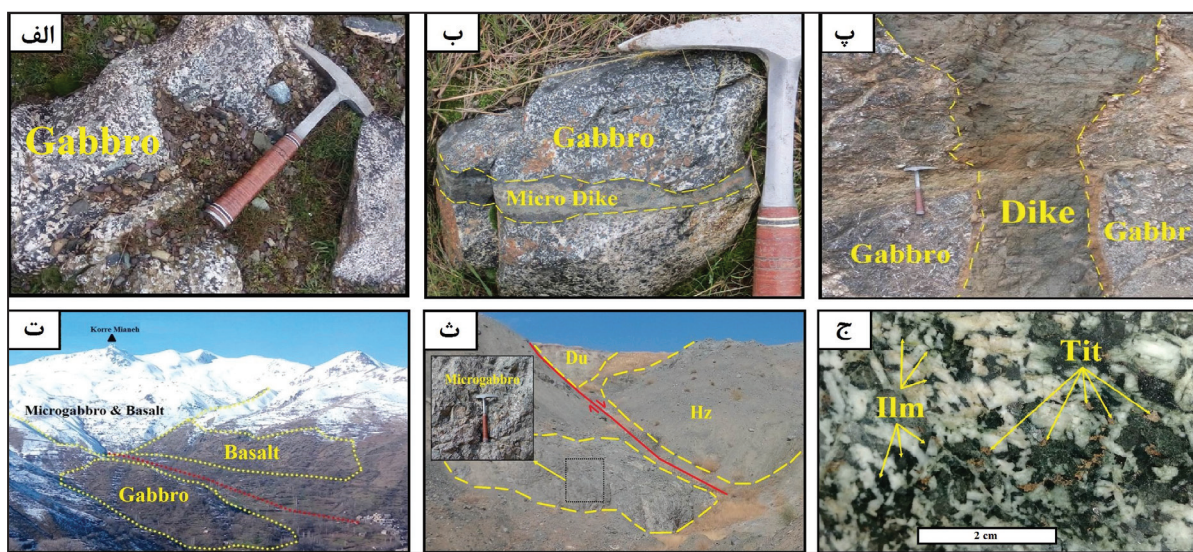


شکل ۲-الف) سنگ های دونیت و هارزبورژیت در کنار سنگ بازالت در اندیس شماره ۱ (به رنگ هارزبورژیت ها در تصویر که به رنگ تیره و دونیت که به زرد کم رنگ هستند توجه شود). ب) سنگ های هارزبورژیت و دونیت در اندیس شماره ۲ (بعد بروزندگی هایی که حاوی کرومیتی می باشدند به طور تقریبی ۱ متر می باشد). پ) سنگ های دونیت و هارزبورژیت در کنار واحد گابرویی در اندیس شماره ۱. ث) نمونه ای از کرومیت های موجود در اندیس شماره ۲. ج) نمونه ای از کرومیت های موجود در اندیس شماره ۳ (علام اختصاری برگفته از وینتی و اوائز (Whitney and Evans, 2010)).

همچنین در نمونه های گابرویی روستای میانه درشت بلورهای تیتانیت و ایلمنیت را می توان در نمونه های دستی مشاهده نمود (شکل ۳-ج). بر اساس داده های زمین شیمیایی، دامنه تغیرات SiO_2 در اغلب گابروهای خاور سروآباد بین ۴۷/۸۴ تا ۵۱/۶۵ درصد وزنی بوده و سرنشیت ماگمایی آنها تولیتی است، همچنین به میزان کمتری گابروهای با منشأ گوشه ای اندکی تهی شده که در محیط فوق فرورانشی جلوی کمان تشکیل شده اند (رحمی زاده و همکاران، ۱۳۹۲ الف). این نگارندگان، با مقایسه سن گابروهای مورد مطالعه با توده های گابرویی مشابه در امتداد زاگرس در منطقه کردستان به این نتیجه رسیده اند که نتوتیس در این منطقه بعد از ائوسن بسته شده است. از جمله توده های گابرویی می توان به توده های نفوذی پنجوین در مرز ایران و عراق در شمال-باخته و توده های گابرویی طایسaran و مروراید در قسمت جنوب مناطق مورد مطالعه (معین وزیری و همکاران، ۱۳۸۷؛ Azizi et al., 2018) اشاره کرد.

۳-۳-مجموعه های گابرویی مورد مطالعه

طیفی از سنگ های با ترکیب گابروی شامل گابروی درشت بلور تا پگماتوییدی (شکل ۳-الف)، ملاگابرو و میکرو گابرو (شکل ۳-ب) در سه منطقه شمال باخته کامیاران (روستای یخنه خان)، خاور سروآباد (روستای میانه) و جنوب مریوان (روستاهای در گاشیخان-ویسه) میزبان کانی های ایلمنیت، مگنتیت و تیتانیت هستند. پلاژیوگرانیت و دایک های فلزیک دگرسان نشده در برخی از مناطق (از جمله مهم ترین آنها در مریوان) گابروهای مورد مطالعه را قطع کرده اند (شکل ۳-پ). این سنگ ها در برخی از مناطق (از جمله مهم ترین آنها در خاور و شمال خاوری روستای میانه) نیز در مجاورت توده های بازالتی و سنگ های دگرگون شده زون سندیچ-سیرجان قرار دارند (شکل ۳-ت). توده های گابرویی مورد مطالعه اغلب (از جمله مهم ترین آنها در منطقه یخنه خان کامیاران) همراه با سنگ های افیولیتی نوع هارزبورژیت و دونیت دیده می شوند (شکل ۳-ث)،



شکل ۳- (الف) نمونه‌ای از گابروهای درشت بلور ویسه (به اندازه آن توجه شود). (ب) نمونه‌ای از میکروگابروهای ویسه (به اندازه آن توجه شود). (پ) واحدهای گابرویی در گاشیخان-ویسه و نفوذ دایک فلیسیک بزرگ مقیاس به درون آنها توجه شود. (ث) موقعیت گابروهای میانه نسبت به بازالت‌های اطراف آن. (ث) موقعیت میکروگابروی یخته خان نسبت به سنگ‌های دونیت و هارزبورژیت، (ج) کانی‌های ایلمنیت و تیتانیت در گابروی میانه (نمونه دستی). (علامت اختصاری برگرفته از Whitney and Evans (2010)).

۴- مطالعات سنگنگاری

۴-۱- پریدوئیت

سنگ‌های پریدوئیتی مناطق مورد مطالعه اغلب در جرات متفاوتی از سرپانتینی شدن (از ۱۰ تا حدود ۹۰ درصد که غالب اوقات سرپانتینیت هستند) را نشان می‌دهند، بنابراین، سرپانتینی شدن، فرایند متداول دگرسانی در پریدوئیت‌های مناطق مورد مطالعه به شمار می‌رود و به طور ویژه در جنوب باخته مریوان سنگ‌های هارزبورژیتی و دونیتی را تحت تأثیر خود قرار داده است. درجه سرپانتینی شدن در محل هاله‌های دونیتی اندیس‌های معدنی به بیش از ۹۰ درصد می‌رسد.

سنگ‌های کمتر دگرسان شده هارزبورژیت نشان می‌دهند که کانی‌های الیوین، ارتوپیروکسن و بهدرت کرومیت کانی‌های اولیه تشکیل دهنده سنگ می‌باشند. در اثر دگرسانی کانی‌های سیلیکاتی به مجموعه‌ای از کانی‌های گروه سرپانتین، کلریت، کلسیت و اکسیدهای آهن تبدیل شده‌اند.

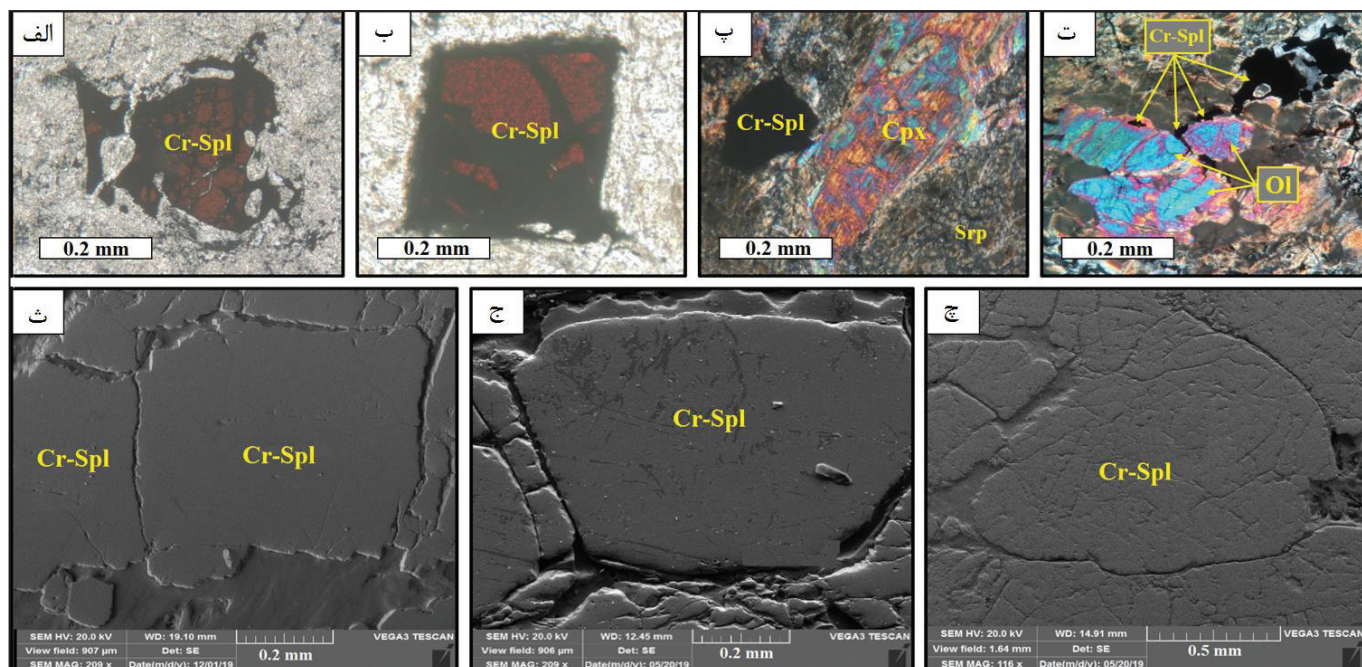
بلورهای کروم-اسپینل موجود در هارزبورژیت‌های با دگرسانی بالا گاهی در مقاطع نازک دارای تغییر رنگ قهوه‌ای تیره تراوشن از مرکز به سمت رنگ سیاه در حاشیه بلور می‌باشند (شکل ۴-الف و ب)، به بیان دیگر، دانه‌های کروم-اسپینل در حاشیه بلور ممکن است کمی دگرسان شده باشند لیکن قسمت‌های میانی آنها از دگرسانی به دور مانده‌اند. بافت‌های گرانولار (به عنوان بافت چیره) و پورفیربلاستیک عمومیت دارند و بلورهای اولیوین و پیروکسن با اندازه و شکل‌های مختلف در کنار یکدیگر با مرزهای دارای انتنا و درهم فروفتحی فراوان می‌باشند. کانی‌های کلینوپیروکسن (شکل ۴-پ) و اولیوین (شکل ۴-ت) کشیدگی و ماکل‌های تغییرشکل یافته و خاموشی موجی را از خود نشان می‌دهند که نشانه‌هایی از شرایط خاص گوشته‌ای و فایریک دمابالا هستند (Nicolas, 1989). کروم-اسپینل‌ها اغلب به صورت نیمه‌شکل دار (شکل ۴-ث) تا بی‌شکل در سنگ کرومیت پراکنده می‌باشند. از نظر ریخت‌شناسی، کانی‌های کروم-اسپینل نیمه‌خودشکل تا خودشکل هستند. کروم-اسپینل در سنگ‌های کرومیتی کانی اصلی تشکیل دهنده سنگ می‌باشد و میزان آن در سنگ (دارای ساخت توده‌ای) به بیش از ۹۰ درصد می‌رسد. کرومیتیت‌های توده‌ای از بلورهای شکل دار تا نیمه‌شکل دار کرومیت با ابعاد ۰/۱ تا ۰/۸ میلی‌متر تشکیل شده‌اند.

۴-۲- سنگ‌های گابروی

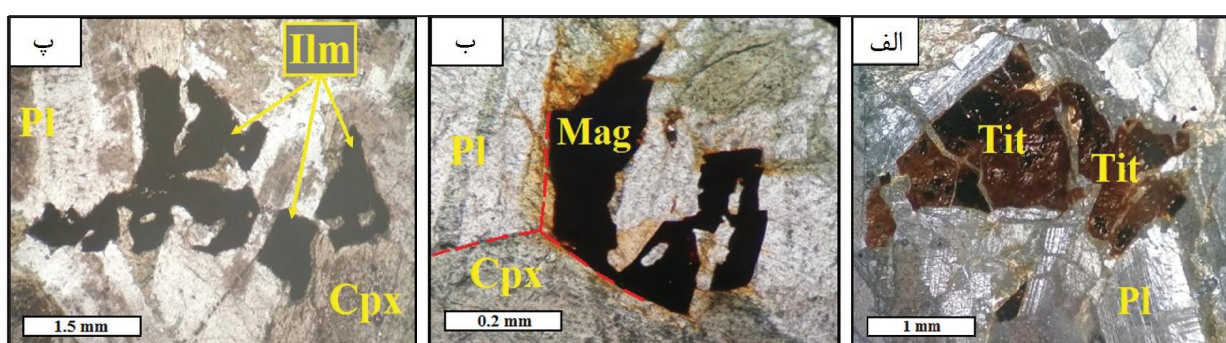
در محور مورد مطالعه طیف از گابروها، شامل گابرو پگماتوییدی، گابرو درشت‌دانه و میکروگابرو و از نظر رنگ شامل ملاگابرو تا مزوگابرو رخمنون دارند. در این بین، سنگ‌های گابرو درشت‌دانه و ملاگابرو عمدۀ سنگ‌های میزان کانی‌های تیتانیت دار هستند. این کانی‌ها به صورت بین دانه‌ای فضاهای بین بلوری پلاژیوکلاز و پیروکسن را پر کرده‌اند و بلور آنها پس از بلور پلاژیوکلاز صورت گرفته است. پلاژیوکلاز که مهم ترین بخش سنگ‌های گابرویی است، در حدود ۶۰ تا ۴۵ درصد حجم سنگ‌های گابرویی مناطق مورد مطالعه را تشکیل می‌دهد. بدین‌گاه این کانی در بیشتر مقاطع به طور بخشی، آثاری از سوروسیتی شدن را نشان می‌دهد، اما از نظر شکل بلوری، نیمه‌شکل تا شکل دار و دارای ماکل بسیار آشکار پلی‌ستنتیک و نسبتاً سالم می‌باشد. کلینوپیروکسن دومین کانی اصلی سنگ‌های گابرویی است که ۲۵ تا ۳۵ درصد حجم سنگ‌های گابرویی مناطق مورد مطالعه را تشکیل می‌دهد. کانی‌های فرعی شامل اوزیت، اولیوین، کلریت، آمفیبول و کانی‌های کدر (ایلمنیت، مگنتیت و تیتانیت) به صورت بلورهای ریز تا متوسط و با فراوانی ۲ الی ۷ درصد حجم سنگ می‌شوند. ایلمنیت در هر سه منطقه مورد مطالعه (کامیاران-سرخآباد-مریوان) نسبتاً سالم می‌باشد.

با کانی‌های پلازیوکلاز و پیروکسن می‌باشد. مطالعات میکروسکوپی نشانگر تبلور همزمان پلازیوکلاز و پیروکسن در ادامه تفریق ماجمای بازالتی است. شواهد سنگنگاری در گابروهای خاور سروآباد (واقع در روستای میانه) نشان دهنده ترتیب تبلور به صورت پلازیوکلاز-کلینوپیروکسن-اولیوین بیوتیت-تیتانیت-ایلمنیت-مگنتیت در این سنگ‌ها می‌باشد. کانی‌های پلازیوکلاز با جهت یافته‌گی اتفاقی به طور کامل یا ناقص به وسیله کانی‌های کلینوپیروکسن احاطه شده‌اند. قرار گرفتن درهم و با اندازه یکسان و نیز حضور مرزهای مستقیم کانی‌های پیروکسن و پلازیوکلاز دلیل دیگری بر تبلور همزمان این دو کانی است (رجبزاده و همکاران، ۱۳۹۰).

و کانی‌های تیتانیت (شکل ۵-الف) و مگنتیت (شکل ۵-ب) فقط در خاور سروآباد مشاهده شده‌اند. ایلمنیت (شکل ۵-پ)، تیتانیت و مگنتیت به صورت ریزدانه تا متوسط دانه (تا ۱/۵ میلی‌متر) و اغلب آمیسی‌شکل، بی‌شکل، به میزان کمتر نیمه خودشکل به صورت بین بلوری در میان کانی‌های سیلیکاته ایجاد شده‌اند. در هر سه منطقه مورد مطالعه، پلازیوکلاز کانی‌های اصلی و اوژیت، اولیوین و آمفیبول کانی‌های فرعی سنگ‌های میزان کانه‌زایی اکسیدی تیتان می‌باشد. در محور مورد مطالعه معمولاً اندازه کانی‌های ایلمنیت از بافت سنگ میزان پیروی می‌کنند به گونه‌ای که هرچه سنگ میزان، دانه درشت‌تر باشد، اندازه کانی ایلمنیت نیز افزایش می‌یابد، این وضعیت شاهدی بر تشکیل کانی‌های ایلمنیت در شرایط فشار و دما تقریباً یکسان



شکل ۴- (الف و ب) کانی‌های کروم-اسپینل غیرخودشکل تا شکل دار موجود در سنگ هارزیورزیت (اندیس شماره ۱ و تصویر در نور P.P.L). (ب) کانی‌های کروم-اسپینل و کلینوپیروکسن در زمینه سرپانتین (اندیس شماره ۲ و تصویر در نور X.P.L). (ت) کانی‌های کروم-اسپینل و اولیوین در زمینه سرپانتین و ادخال اولیوین موجود در کروم-اسپینل (ذخیره شماره ۱ و تصویر در نور X.P.L). (ث) کانی‌های کروم-اسپینل خودشکل تا نیمه خودشکل، اندیس کرومیت شماره ۱. (ج) کانی کروم-اسپینل خودشکل تا نیمه خودشکل، اندیس کرومیت شماره ۲. (چ) کانی کروم-اسپینل غیرخودشکل با شکستگی‌های ریز تا متوسط، اندیس کرومیت شماره ۳ (تصاویر ث، ج و چ در میکروسکوپ S.E.M). (علاوه اختصاری برگفته از ویتنی و اوائز (Whitney and Evans, 2010).



شکل ۵- دو تصویر الف و ب مربوط به گابروهای خاور سروآباد می‌باشند. (الف) کانی مگنتیت، به زاویه ۱۲۰ درجه بین بلورهای پلازیوکلاز، مگنتیت و کلینوپیروکسن و نیز ادخال پلازیوکلاز در داخل مگنتیت دقت شود، تصویر در نور (X.P.L). (پ) نمونه‌ای از ایلمنیت‌های متوسط بلور تا درشت بلور غیرخودشکل منطقه جنوب خاور مریوان، تصویر در نور (X.P.L). (علاوه اختصاری برگفته از ویتنی و اوائز (Whitney and Evans, 2010).

با جهت یافگی اتفاقی به طور کامل یا ناقص به وسیله کانی‌های کلینوپیروکسن احاطه شده‌اند.

۵- شیمی کانی ۱-۵- کانی کروم-اسپینل

نتایج آنالیز شیمیابی کانی‌های کروم-اسپینل در ۳ اندیس مورد مطالعه در جدول ۱ ذکر شده است. به منظور تعیین جایگاه‌های زمین‌ساختی افیولیت کردستان، از ترکیب شیمی کروم-اسپینل‌های موجود در سنگ‌های کرومیتی، همچنین مقدار و چگونگی وجود عنصر تیتانیم در گابروهای محور مورد مطالعه استفاده شده است. در این حالت ترکیب شیمیابی اندازه‌گیری شده در مرکز بلورها مورد استفاده قرار گرفته است.

در بیشتر نمونه‌های گابروبی موجود در هر سه منطقه مورد مطالعه در کانی‌های پیروکسن (کلینوپیروکسن)، ادخال‌های تقریباً زیاد اما کوچک ملاحظه می‌شوند که به گفته پرس و همکاران (Pearce et al., 1987) بیانگر سرعت زیاد صعود مانگما و کاهش فشار در دمای ثابت است که سبب ذوب کانی‌های دما بالا شده است. به نظر می‌رسد تبلور پلاژیوکلازال و دیوپسید غنی از منیزیم در مانگما موجب افزایش شدید آهن و تیتانیم گشته است. اکسیدی شدن مانگما، موجب تشکیل قطرات مذاب غیرقابل آمیزش اکسیدی شده است (رجب‌زاده و همکاران، ۱۳۹۰). حجم کم قطرات و گرانزوی (ویسکوزیته) نسبتاً بالا مانگما حین تبلور، مانع از اتصال قطرات در مناطق خاص شده است و به این ترتیب تشکیل کانی‌های ایلمینیت، مگنتیت و تیتانیت به طور بین‌دانه‌ای رخ داده است. کانی‌های پلاژیوکلازال

جدول ۱- نتایج آنالیز شیمیابی کانی‌های کروم-اسپینل در کرومیت‌های سه اندیس جنوب‌باخر مریوان به روش (E.D.X.), اندیس شماره ۱ (نمونه‌های ۱ الی ۱۰)، اندیس شماره ۲ (نمونه‌های ۱۱ الی ۱۵) و اندیس شماره ۳ (نمونه‌های ۱۶ الی ۱۸). (Ch-spl = Chromespinel, Chr = Chromitite, bd: below detection limit)

Mineral	Cr-spl																	
Sample	1	2	3	4	5	6	7	8	9	10	11	12	13	14	15	16	17	18
Rack T	Chr																	
MgO	10.83	9.85	14.82	12.78	16.51	17.50	18.60	19.37	19.95	17.45	14.15	14.77	13.51	16.68	15.68	11.92	11.92	11.65
TiO ₂	bd	0.13	0.16	0.15	0.13	0.13	0.13	bd	bd	bd								
Al ₂ O ₃	22.33	17.68	24.61	21.67	25.72	20.87	20.48	20.4	20.08	14.98	17.01	17.73	18.01	19.47	18.83	8.57	8.38	9.38
Cr ₂ O ₃	50.78	50.02	48.96	50.73	46.37	49.63	28.04	30.28	32.21	36.17	37.22	36.00	35.57	34.92	37.33	35.87	36.88	30.31
FeO	15.14	20.05	10.80	13.20	8.29	10.07	29.22	27.88	26.60	26.56	27.57	28.81	28.95	25.11	24.75	32.24	35.27	40.60
Fe ₂ O ₃	1.59	2.11	1.03	1.40	0.87	0.42	3.07	2.93	1.01	2.79	1.95	1.98	2.73	2.64	2.07	4.13	4.13	4.27
V ₂ O ₅	0.25	0.10	bd	0.90	0.90	bd	bd	bd	bd	0.30	0.28	0.24	0.14	0.16	bd	bd	bd	bd
SiO ₂	bd	2.67	3.83	4.32														
MnO	bd	0.81	0.76	0.68	0.8	0.87	bd	bd	bd									
Total	100.67	99.81	99.22	100.68	99.16	98.49	99.41	100.86	99.85	99.08	99.17	99.48	99.82	99.89	99.82	100.4	100.4	100.5
Mg #	0.35	0.27	0.54	0.43	0.60	0.77	0.28	0.30	0.59	0.33	0.37	0.37	0.28	0.31	0.38	0.20	0.19	0.18
Cr #	0.77	0.78	0.68	0.74	0.79	0.80	0.74	0.65	0.69	0.70	0.74	0.71	0.71	0.65	0.65	0.86	0.83	0.82
Mg	6.53	5.94	8.94	7.71	9.96	10.55	8.81	9.27	10.83	10.53	8.54	8.91	8.15	8.86	9.46	7.97	7.19	7.03
Al	11.85	8.87	13.03	13.53	8.32	8.40	6.61	8.65	10.63	7.93	9.01	9.39	8.48	9.25	9.97	4.54	4.97	4.97
Si	0.17	1.39	0.33	0.43	bd	1.25	1.79	2.02										
Ca	0.16	0.10	bd	0.17	bd													
Ti	bd	0.10	0.09	0.08	0.08	0.08	bd	bd	bd									
V	0.14	0.06	bd	0.05	0.05	bd	bd	bd	bd	0.08	0.17	0.16	0.14	0.08	0.09	bd	bd	bd
Cr	40.89	31.48	28.02	37.44	31.72	33.95	19.18	16.61	24.09	18.90	25.46	23.26	20.91	17.05	18.70	27.96	25.23	23.47
Mn	0.54	bd	0.63	0.59	0.53	0.62	0.68	bd	bd	bd								
Fe	16.74	22.17	10.83	14.59	9.16	4.50	32.30	30.82	10.62	29.36	20.53	20.79	28.69	27.76	21.83	43.38	43.41	44.88
Ni	0.09	0.13	bd	0.09	0.07	0.07	0.09	bd	bd	bd	bd							
Ru	0.33	0.09	0.08	0.16	bd	bd	bd	bd	bd	1.37	bd							
Os	0.86	0.77	0.27	0.41	bd													
Ir	0.80	0.89	0.00	0.42	bd													
Pt	1.24	1.98	0.44	0.59	bd	bd	bd	bd	bd	0.57	bd							
Rh	bd	0.41	bd															
Pd	bd	1.31	bd															
O	19.68	25.79	38.02	22.5	40.77	42.59	33.10	33.66	43.82	29.08	35.55	36.72	38.35	36.22	39.1	15.7	16.64	16.92
Total	100.02	99.66	99.96	98.00	100.01	99.99	100	99.01	99.99	99.54	99.99	100	105.40	99.99	100	100.80	99.23	99.29

Cr# در کانی کروم-اسپینل به عنوان شاخص محیط‌های زمین‌ساختی شناخته شده است و میزان این متغیر، تابع عوامل مختلف، از جمله ذوب‌بخشی و دمای تبلور است؛ به طوری که با افزایش درجه ذوب، افزایش و با کاهش دما کاهش می‌یابد (Dick and Bullen, 1984).

مقدار SiO_2 موجود در ساختار کانی کروم-اسپینل واپسیه به درجه دگرسانی در آنها است و مقدار آن با افزایش درجه دگرسانی،

کانی کروم-اسپینل به عنوان کانی اصلی در سنگ‌های کرومیتی مجموعه‌های افیولیتی، دامنه وسیعی از ترکیبات را نشان می‌دهد که اغلب بازتابی از ماهیت مگما مادر آنها است. این کانی، در برابر دگرسانی و فرایندهای پس از تشکیل مقاوم است و به دلیل تغییرات کم شیمیابی نسبت به ترکیب زمان تبلور کانی از نظر زمین‌شیمیابی، شاخص قابل اعتمادی می‌باشد (Barnes and Roeder, 2001).

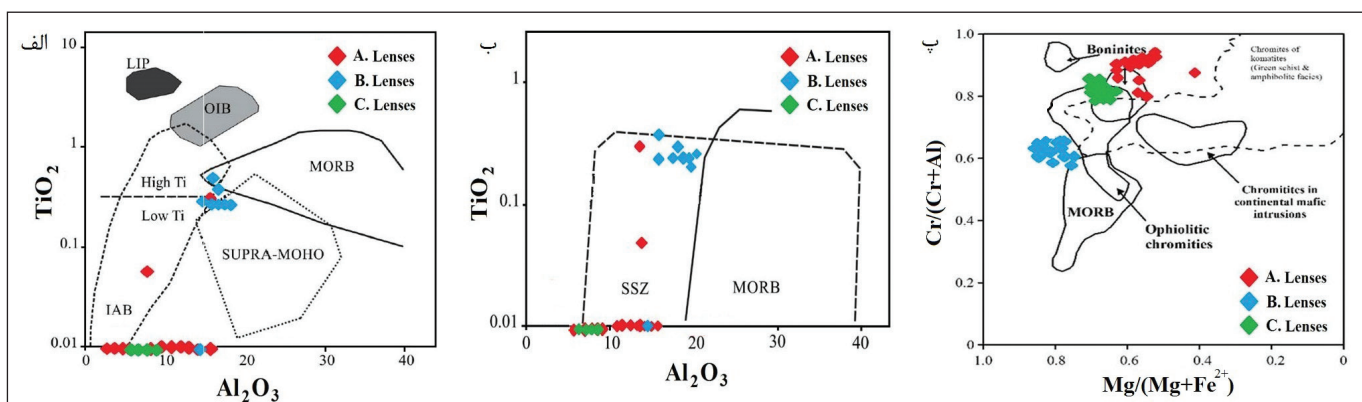
کرومیت‌های اندیس شماره ۱ و ۳ نشان‌دهنده پهنه بالای منطقه فرورانش هستند و ارتباط زیشی نزدیکی را با محیط کمان و مگماهایی با ترکیب بونینیتی نشان می‌دهند. مقادیر کم Al_2O_3 و TiO_2 در کروم-اسپینل سنگ کرومیتیت بیانگر خاستگاه مگماهای TiO_2 برگرفته از گوشه بالایی برای این ذخایر می‌باشد. چنانچه در نمودار Al_2O_3 - TiO_2 (D) برابر بازگرفته از گوشه شرایط اکسایش در طول دگرگونی است، این شرایط و مقدار زیاد Fe^{3+} نشان‌دهنده شرایط اکسایش در اندیس شماره ۱ و ۲ می‌باشد. از کانی‌های کروم-اسپینل در کرومیت‌های مورد مطالعه، اندیس شماره ۱ و ۳ در محدوده از کانی کروم-اسپینل در کرومیت‌های مورد مطالعه، اندیس شماره ۱ و ۳ در محدوده SSZ و اندیس شماره ۲ نیز به MORB تمایل بیشتری دارد (شکل ۶). دو محیط جزایر کمانی (نوع کروم-بالا، مگماهای بونینیتی و ذوب بخشی درجه بالای گوشه) و جزایر پشت کمانی (نوع آلومینین-بالا و مگماهای تولثیتی) برای تشکیل کرومیت‌های ابتدای پذیرفته شده‌اند که در هر دو محیط، تشکیل کرومیت‌ها حاصل واکنش گوشه بالایی با مگماهایی است که از میان آن به سمت بالا صعود کرده است (Uysal et al., 2005).

با توجه به نمودار Cr_2O_3 در برابر Al_2O_3 ، هر سه مورد از اندیس‌های کرومیتی مورد مطالعه در محدوده کرومیت‌های غنی از کروم قرار می‌گیرند، با این وصف که کرومیت‌های اندیس شماره ۲ تا حدودی به کرومیت‌های غنی از آلومینین تمایل دارد (شکل ۷). در اندیس شماره ۱ عناصر گروه پلاتین از جمله Ir, Os, Pt در صدای کمی از کروم-اسپینل را تشکیل می‌دهند که بیشترین درصد آنها ۱/۹۸ مربوط به عنصر پلاتین می‌باشد و می‌توان انتظار داشت در صورت مطالعات بیشتر کانی‌های گروه پلاتین در این ذخایر تشکیل شده باشند.

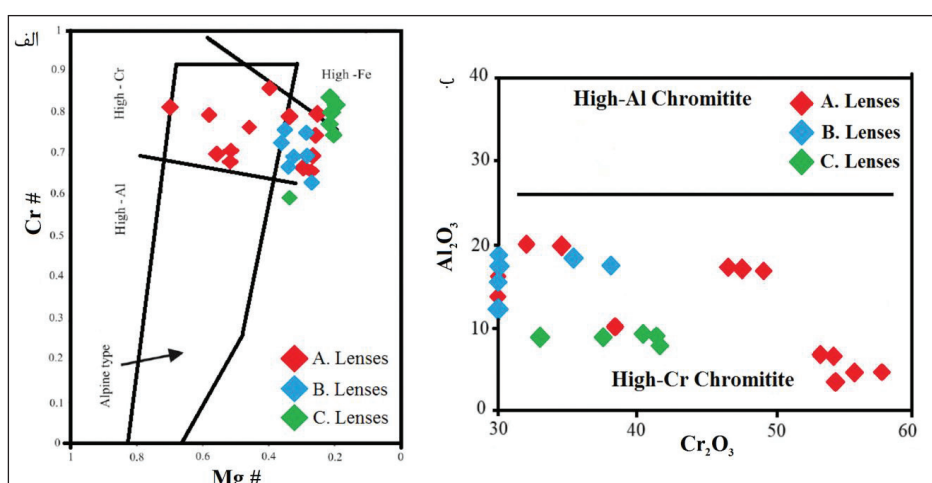
افزایش می‌یابد (Farahat, 2008)، بنابراین در اندیس شماره ۳ درجه دگرگونی بیشتر از اندیس شماره ۱ و ۲ می‌باشد.

کانی‌های کروم-اسپینل دگرگونی شده دارای مقادیر زیادی Fe^{3+} هستند که نشان‌دهنده شرایط اکسایش در طول دگرگونی است، این شرایط و مقدار زیاد Fe^{3+} (به نسبت دو اندیس دیگر) در اندیس شماره ۳ آشکار می‌باشد. با استفاده از شیمی کانی کروم-اسپینل می‌توان ماهیت و شرایط تشکیل پریدوتیت‌های گوشه را مشخص کرد (Zhou et al., 1996). چنانچه عدد کروم پایین تر (۰/۶٪) باشد؛ پریدوتیت‌های گوشه‌ای منشأ لیتوسفر اقیانوسی در یک پشتہ میان اقیانوسی پدید آمده‌اند و چنانچه بیشتر از ۰/۶٪ باشند عمدتاً در جزایر کمانی و یا در ارتباط با فرورانش و یا فرافرورانش در یک پوسته اقیانوسی تشکیل شده‌اند (Dick and Bullen, 1984).

با توجه به این موضوع، میانگین عدد کروم در اندیس شماره ۱ (۰/۸۲٪)، در اندیس شماره ۲ (۰/۶۷٪) و در اندیس شماره ۳ (۰/۸۴٪) می‌باشد، که نشان می‌دهد ترکیب شیمیابی اندیس شماره ۲ به محیط تشکیل پشتہ میان اقیانوسی تمایل و نزدیک است. به باور فراحت (Farahat, 2008)، هسته‌های کروم-اسپینل با مقادیر $\text{TiO}_2 < 0.2 \text{ wt\%}$ ، از ویژگی‌های سنگ‌های افیولیتی می‌باشد زیرا هنگام ذوب بخشی گوشه بالایی، Ti به شدت وارد گذازه می‌شود و از مهم‌ترین وجه تمایز آنها با انواع چینه‌سان است. مقادیر بالای $\text{Cr}^{\#}$ و مقدار بسیار کم TiO_2 در نمونه‌های کروم-اسپینل موجود در



شکل ۶-الف و ب) موقعیت نمونه‌های مورد مطالعه در نمودارهای Al_2O_3 - TiO_2 (برگرفته از کامتسکی و همکاران (Kamenetsky et al., 2001) (الف) و نمودار عدد کروم در برابر عدد منزیم (برگرفته از موخرجی (Mukherjee et al., 2012) (ب)).



شکل ۷-الف) موقعیت نمونه‌های مورد مطالعه در نمودار $\text{Mg}^{\#}$ - $\text{Cr}^{\#}$ در برابر $\text{Cr}^{\#}$ (Zhou and Kerrich, 1992).
ب) موقعیت نمونه‌های مورد مطالعه در نمودار Cr_2O_3 - Al_2O_3 (Leblanc and Violette, 1983).

ترکیب شیمیایی کانی‌های ایلمنیت (جدول‌های ۲ و ۳) نشان می‌دهد که متوسط میزان درصد وزنی TiO_2 از کامیاران (۴۳/۱۹) به سمت سروآباد (۴۶/۰۹) و سپس مریوان (۴۷/۴۲) افزایش می‌یابد. بیشترین میزان درصد وزنی TiO_2 نیز در گابروهای در گاشیخان-ویسه (۵۵/۸۱) مشاهده شده است. عناصر کیالت (تا ۲/۴۱ درصد وزنی) و وانادیم (تا ۲/۶۴ درصد وزنی) به صورت ناخالصی در اغلب کانی‌های ایلمنیت و تیتانیت مشاهده می‌شوند. همچنین عناصر آرسنیک (با میانگین ۲/۰۴ درصد وزنی) و زیرکن (با میانگین ۲/۶۰ درصد وزنی) در کانی تیتانیت (جدول ۴) مشاهده می‌شوند.

۵-۲-کانی‌های ایلمنیت، تیتانیت و مگنتیت

نتایج مطالعات شیمی کانی‌های ایلمنیت، تیتانیت، مگنتیت در گابروهای سه منطقه در محور مورد شامل گابروهای شمال کامیاران (روستای یخته خان)، گابروهای خاور سروآباد (روستای میانه) و گابروهای جنوب باختر مریوان (روستاهای در گاشیخان-ویسه) در جدول‌های ۲، ۳ و ۴ خلاصه شده است.

مطالعات شیمی کانی در گابروهای مورد مطالعه نشان داده است که کانی‌های کدر بیشتر از نوع ایلمنیت ($FeTiO_3$) می‌باشند. در منطقه خاور سروآباد کانی‌های تیتانیت ($CaTi(O-SiO_4)$) و مگنتیت (Fe_3O_4) نیز به فراوانی مشاهده می‌شوند.

جدول ۲- نتایج آنالیز شیمی کانی‌های اکسیدی تیتان و آهن به روش (E.D.X.) در منطقه کامیاران (نمونه‌های ۱ الی ۱۲)، سروآباد (نمونه‌های ۱۳ الی ۱۸)، (bd: below detection limit).

Mineral	Ilm	Ilm	Ilm	Ilm	Ilm	Ilm	Ilm	Ilm	Ilm	Ilm	Ilm	Ilm	Ilm	Ilm	Ilm	Ilm	Ilm	Ilm
Sample	1	2	3	4	5	6	7	8	9	10	11	12	13	14	15	16	17	18
Rack T	Gb	Gb	Gb	Gb	Gb	Gb	Gb	Gb	Gb	Gb	Gb	Gb	Gb	Gb	Gb	Gb	Gb	Gb
CaO	18.95	5.51	1.97	bd	0.42	2.70	0.22	0.35	0.04	0.73	bd	0.17	0.15	13.95	0.59	0.51	0.26	0.36
TiO_2	44.56	44.05	46.60	50.73	44.02	41.75	43.58	44.93	42.36	39.90	43.15	39.68	45.82	44.35	48.82	44.85	48.20	44.53
FeO	24.11	34.51	37.46	43.12	52.38	43.77	49.93	53.71	47.99	48.30	39.89	45.5	35.74	21.07	33.66	35.52	33.23	34.37
V_2O_5	0.89	0.68	bd	bd	bd	bd	bd	bd	bd	bd	Bd	bd	0.64	bd	0.01	bd	bd	bd
MnO	3.49	2.71	3.89	2.86	0.63	0.56	0.63	0.62	0.59	0.50	0.64	0.63	2.71	1.84	2.59	3.34	1.58	2.00
Total	92.00	87.46	89.92	96.71	97.45	88.78	94.36	99.61	90.98	89.43	83.68	85.98	84.42	81.85	85.66	84.23	83.27	81.26
Ca	7.59	2.21	0.79	bd	0.17	1.08	0.09	0.14	0.02	0.29	bd	0.07	0.06	5.59	0.24	0.37	0.19	0.26
Ti	26.77	26.41	27.94	30.41	26.39	25.03	26.13	26.94	25.40	23.92	25.87	23.79	27.47	26.59	29.27	26.89	28.30	26.70
V	0.47	0.38	bd	bd	bd	bd	bd	bd	bd	bd	Bd	bd	0.36	bd	0.01	bd	bd	bd
Co	bd	bd	bd	bd	bd	bd	bd	bd	1.68	bd	2.41	bd	bd	bd	bd	bd	bd	bd
Mn	2.70	2.10	3.01	2.22	0.49	0.44	0.49	0.48	0.46	0.39	0.50	0.49	2.10	1.43	2.01	1.89	1.23	1.55
Fe	18.74	26.82	29.11	33.51	40.70	34.01	38.80	41.74	37.29	37.53	38.6	35.36	22.77	16.33	26.16	27.80	25.82	26.71
O	43.73	42.08	39.16	33.85	32.24	39.44	34.50	30.70	36.82	36.20	35.04	37.89	42.60	46.59	42.33	43.20	43.95	44.89
Total	100	100	100.01	99.99	99.99	100	100.01	100	99.99	100.01	100.01	100.01	95	96.89	100.01	100.16	99.49	100.11

جدول ۳- نتایج آنالیز شیمی کانی‌های اکسیدی تیتان و آهن به روش (E.D.X.) در منطقه مریوان (bd: below detection limit, Ilm = Ilmenite).

Mineral	Ilm	Ilm	Ilm	Ilm	Ilm	Ilm	Ilm	Ilm										
Sample	1	2	3	4	5	6	7	8	9	10	11	12	13	14	15	16	17	18
Rack T	Gb	Gb	Gb	Gb	Gb	Gb	Gb	Gb										
CaO	0.34	0.09	0.15	0.04	0.07	4.99	bd	bd	0.12	bd	bd	2.07	4.14	bd	bd	bd	bd	bd
TiO_2	46.46	49.15	48.73	48.77	47.47	42.73	49.32	48.82	49.18	47.55	46.63	38.04	51.95	47.72	48.87	bd	bd	bd
Al_2O_3	bd	bd	bd	bd	bd	bd	bd	bd										
FeO	42.20	43.3	39.09	43.07	42.17	37.31	46.08	44.14	43.74	46.65	43.91	27.6	43.21	40.54	40.02	bd	bd	bd
V_2O_5	0.98	bd	bd	bd	bd	bd	bd	bd	bd									
MnO	1.29	1.24	1.03	1.38	1.29	bd	0.69	0.90	bd	bd	bd	0.44	1.05	0.76	bd	bd	bd	bd
Total	91.27	93.78	89.00	93.26	91.00	85.03	96.09	93.86	93.04	94.86	91.54	68.15	100.35	89.02	88.89	bd	bd	bd
Al	bd	0.35	0.53	bd	bd	bd	bd	bd	bd	bd								
Ca	0.14	0.04	0.06	0.02	0.03	2.00	bd	bd	0.05	bd	bd	bd	bd	bd	bd	bd	bd	bd
Ti	27.84	29.47	29.22	29.24	28.46	25.62	29.57	29.27	29.49	28.51	27.96	22.81	31.15	28.61	29.30	bd	bd	bd
V	0.55	bd	bd	bd	bd	bd	bd	bd	bd									
Co	0.20	bd	bd	0.34	bd	bd	bd	bd	bd									
Mn	1.00	0.96	0.80	1.07	1.00	bd	0.54	0.70	bd	bd	bd	0.34	0.82	0.53	0.08	bd	bd	bd
Fe	32.79	33.64	33.38	33.47	32.77	28.99	35.81	34.3	33.99	32.92	32.57	21.45	33.58	31.43	31.10	bd	bd	bd
O	36.58	35.88	36.54	36.2	37.74	41.33	34.07	34.74	35.61	38.21	38.95	54.57	32.44	39.36	38.60	bd	bd	bd
Total	99.10	99.99	100	100	100	97.94	99.99	99.01	99.14	99.99	100.01	99.17	98.33	99.93	99.08	bd	bd	bd

جدول ۴- نتایج آنالیز شیمی کانی های اکسیدی تیتان (در تیتانیت) و آهن (در مگنتیت) موجود در منطقه خاور سروآباد به روش (E.D.X). (Gb = Gabbro, Tin = Titanite, Mag = Magnetite)

Mineral	Pl							
Sample	1	2	3	4	5	6	7	8
Rack T	Gb							
CaO	18.60	11.81	13.38	17.50	17.28	15.95	10.73	18.35
Al ₂ O ₃	25.38	25.29	25.01	25.84	23.95	26.72	24.91	25.62
FeO	0.14	0.24	0.25	0.33	0.41	0.28	0.14	0.47
MgO	0.71	1.39	0.98	0.58	0.72	0.63	0.33	0.73
SiO ₂	50.05	57.02	52.36	49.71	51.33	48.71	55.69	49.90
Na ₂ O	6.11	7.80	7.53	6.80	6.65	7.92	8.50	5.69
Total	100.99	103.55	99.51	100.76	100.34	100.21	100.30	100.76
Al	13.44	13.39	13.24	14.74	14.8	14.15	13.19	15.15
Ca	7.45	4.73	5.36	7.01	6.92	6.39	4.30	7.35
Si	23.40	26.66	24.48	23.24	24.00	23.24	26.98	23.33
Na	4.54	5.79	5.59	5.05	4.94	5.88	6.31	4.22
Fe	0.11	0.19	0.20	0.26	0.32	0.22	0.11	0.37
Mg	0.43	0.84	0.59	0.35	0.44	0.38	0.20	0.44
O	50.53	43.39	50.85	49.31	48.58	49.84	48.92	49.14
Total	99.90	94.99	100.31	99.96	100.00	100.10	100.01	100.00

می توان به آن ایلمنیت گابرو (رجبزاده، ۱۳۹۰) اطلاق کرد. با توجه به شواهد بافتی و شیمی کانی، کانه زایی تیتانیم در نتیجه اکسایش ماقما و تشکیل قطرات سیال غیرقابل آمیزش غنی از آهن و تیتانیم، پس از تبلور پلاژیوکلاز صورت گرفته است. مطالعات میکروسکوپی و شواهد شیمی کانی در مناطق مورد مطالعه نشان می دهد که کانه زایی های تیتانیم اولیه بوده و اغلب در سنگ های گابرو پگماتوییدی صورت گرفته است. حضور توده های گابرویی غنی از تیتانیم در مناطق مورد مطالعه این فرضیه را به وجود می آورد که ماقما مادر افیولیتی در محور مورد مطالعه از مجموعه افیولیتی کردستان، غنی از عنصر تیتانیم بوده است و احتمالاً در محیط های فراورانش (سوپراساباکشن) تشکیل شده اند. شکل و موقعیت کانی های اکسیدی با تشکیل سیال غیرقابل آمیزش غنی از آهن و تیتانیم و تبلور ایلمنیت و تیتانیت از این سیال است. حجم کم قطرات و گرانزوی نسبتاً بالای ماقما حین تبلور، مانع از اتصال قطرات در مناطق خاص شده است و به این ترتیب تشکیل کانی های ایلمنیت، مگنتیت و تیتانیت به طور بین دانه ای رخ داده است.

مطالعات صورت گرفته در گابروهای خاور سروآباد، نشان می دهد که بخش بازالتی-میکرو گابرویی، سرشت ماقما تولثی دارند و ویژگی های حد واسط N-MORB و E-MORB را نشان می دهند (رجیم زاده و همکاران، ۱۳۹۲). رحیم زاده و همکاران (۱۳۹۲b) معتقد هستند که گابروهای میانه در بخش گابروهای بستر اقیانوسی قرار می گیرند که می توانند دلیلی بر افیولیتی بودن گابروهای این منطقه باشند و سن این گابروها و همچنین گابروهای کامیاران را اتوسن تا الیکو سن در نظر دارند، چنانچه نهشته های الیکو میونس به صورت دگر شیب روی آهک بیستون-اورامان نشسته اند و این راندگی (تراست شدگی) بیانگر آن است که برخورد دو صفحه در اواخر میونس شروع و پس از آن نیز ادامه داشته است و سن گابروهای خاور سروآباد را $28/3\pm 1$ میلیون سال محاسبه کرده اند و همانگی چشم گیری با سنگ های بازالت- گابروی منطقه کامیاران دارند و در نهایت رانده شدن مجموعه افیولیتی بر روی نهشته های رسوبی اولیکو سن را نشان می دهد که بسته شدن نهایی دریای باقی مانده از تیپس بین ایران و صفحه عربی در زمانی پس از نهشته شدن این رسوبات یعنی اواخر میونس یا پس از آن صورت گرفته است.

کانی سازی Ca±Fe+Ti در حجم گستره و بزرگی از واحدهای مافیک مجموعه های افیولیتی مورد مطالعه رخ داده است. تیتانیم و آهن در فرایند تفریق ماگما رفتار مشابه داشته و ضریب همبستگی آنها مشتب است، این موضوع با افزایش تدریجی غلظت این دو عنصر ضمن تفریق پلاژیوکلاز و دیوپسید از ماگما مطابقت دارد، همچنین عده کانه زایی تیتانیم همراه با آهن در ایلمنیت و مقداری نیز در فاز سیلیکاتی (تیتانیت) تمرکز پیدا کرده است. تنها در گابروهای خاور سروآباد کانی تیتانیت (اسفن) دیده می شود و دلیل آن می تواند احتمالاً همجواری بسیار نزدیک به زون دگرگونی سنتدج-سیرجان باشد که باعث تشکیل رخساره های شیست سبز و آمفیولیت شده است و در نتیجه، تیتانیم از کانی های اولیه آزاد شده و در قالب تیتانیت ظاهر می شود.

۶- بحث

مرز میان بلورهای کروم- اسپینل سه گانه و مستقیم با زاویه ۱۲۰ درجه است و به رغم جایگاه اندیس های معدنی کرومیتیت در میان سنگ های گوشه بالای بر منشأ ماگمایی آنها دلالت دارد. شواهد صحرایی به همراه مطالعات سنگنگاری و شیمی کانی بیانگر نقش فرایند عدم آمیزش مایعات (Liquid Immiscibility) در تشکیل اندیس های معدنی توده ای کرومیتیت در درون غلاف هایی از دونیت با مرز مشخص و گاهی تدریجی است. در محیط های فروزانش، تشکیل ذخایر کرومیتیت همراه با آمیختگی میان گوشه بهارو با گوشه شده زیر کمان (sub-arc) صورت می گیرد چرا که آلایش با مواد پوسته ای یا سیلان آزاد شده از تخته فرورو، تغییراتی را در ترکیب شیمیایی ماگما پدید می آورند همچنین انتشار آب و نقش آن در ذوب بخشی گوشه در پشت میان اقیانوسی و پهنه های پشت کمان اهمیت زیادی دارد (Tian et al., 2008).

حضور آب موجب اکسایش ماگما می شود. میزان اکسایش در گابروهای جنوب- باخته مربیان بسیار آشکار بوده و این موضوع موجب خروج آهن و تیتانیم فراوان از ماگما همزمان با تشکیل سنگ های گابرویی نوع گابرویی پگماتوییدی شده است. غنی شدگی عنصر تیتانیم در سنگ های فرو گابرو این منطقه شاهدی بر این مدعای است و به طور محلی میزان فراوانی کانی ایلمنیت به حدی می رسد که

۷- نتیجه‌گیری

پنجوین که در ادامه این محور قرار دارد و در اقلیم کردستان واقع شده است، ذخیره مناسب تری از فلز تیتانیم را شاهد باشیم. کانه‌زایی در نتیجه اکسایش ماسکمای توئنیتی غنی از تیتانیم و تشکیل قطرات مذاب غنی از آهن و تیتانیم پس از تشکیل پلاژیوکلاز و کلینوپیرروکسن صورت گرفته است. مطالعه حاضر نشان می‌دهد که محور افیولیتی کامیاران-سرخآباد-مریوان می‌تواند مناطق مناسبی جهت پی‌جویی ذخایر معدنی بزرگ کرومیت و ایلمینیت در بین افیولیت‌های باخته ایران به شمار می‌رود.

سپاسگزاری

نویسنده‌گان این مقاله از معاونت محترم پژوهشی دانشگاه شیراز به دلیل حمایت مالی از انجام این پژوهش و همچنین از مردم مهربان و خونگرم رستاهای زاور، میانه، ویسه و یخته‌خان تشکر و قدردانی می‌کنند.

ترکیب شیمی کانه‌زایی کروم-اسپینل مورد مطالعه در اندیس‌های کرومیتی نشان می‌دهد که سه اندیس موجود حداقل در دو محیط متفاوت تشکیل شده‌اند. تشکیل این اندیس‌ها و سنگ‌های میزان آن در پاسخ به واگرایی سریع پوسته اقیانوسی و سپس حرکت همگرایی صفات زمین‌ساختی و بسته‌شدن اقیانوس تیس جوان صورت گرفته است. شواهد صحرازی به همراه مطالعات سنگنگاری و کانه‌نگاری، نشانگر نقش فرایند عدم آمیزش مایعات (Liquid Immiscibility) در تشکیل ذخایر معدنی می‌باشد. حضور توده‌های گابرویی غنی از تیتانیم در محور مورد مطالعه این فرضیه را به وجود می‌آورد که ماسکمای مادر افیولیتی کردستان، غنی از عنصر تیتانیم بوده که در جنوب خاور این محور به سمت شمال‌باخته، درصد وزنی عنصر تیتان رو به افزایش است که با تغییر محیط زایش مجموعه‌های افیولیتی از محیط‌های تیغه میان اقیانوسی تا فراورانش نیز مطابقت دارد. همچنین به نظر می‌رسد، در افولیت

کتابنگاری

امامعلی پور، ع.، ۱۳۹۰، ژئوشیمی و محیط زمین‌شناسی کرومیت‌های ناحیه الند از مجموعه افیولیتی خوی، شمال باخته ایران. *فصلنامه علوم زمین*، ۴۷ تا ۵۶. doi: GSJ.2011.55135/10.22071

رجب‌زاده، م.ع.، قربانی، م.، سعادتی، م.، ۱۳۹۰، مطالعه کانه‌زایی تیتانیم در مجموعه افیولیتی کهنه‌ج با استفاده از داده‌های سنگ‌شناسی، کانه‌شناسی و ژئوشیمیابی، جنوب استان کرمان، مجله پترولورزی، دانشگاه اصفهان، دوره ۲، شماره ۷، ص. ۲۱-۳۸.

رحیم‌زاده، ب.، حسن‌زاده، ج.، مسعودی، ف.، ۱۳۹۲، ب، زمین شیمی و سن سنجی گابروهای همراه افیولیت‌های سه ول آوا-شمال غرب ایران، *محله علوم دانشگاه خوارزمی*، دوره ۱۳، شماره ۴، ص. ۸۷۷-۸۹۶.

رحیم‌زاده، ب.، ویسی‌نیا، ا.، مسعودی، ف.، طباخ شعبانی، ع.، ۱۳۹۸، پتروژن و تعیین محیط زمین‌ساختی مجموعه افیولیتی نیاباد-قلعه‌جی، بخشی از مجموعه سروآباد: با استفاده از مینرال شیمی کانه‌کروم اسپینل، *محله علوم زمین خوارزمی*، دوره ۵، شماره ۱، ص. ۵۵-۷۸. doi: 10.29252/gnf.5.1.55.

رحیم‌زاده، ب.، مسعودی، ف.، معین‌وزیری، ح.، الهیاری، خ.، ۱۳۹۲، الف، سنگ‌شناسی، پتروژن و ژئوپیانیک مجموعه افیولیتی سه ول آوا، شمال غرب ایران، مجله پترولورزی دانشگاه اصفهان، دوره ۴، شماره ۱۴، ص. ۹۳-۱۱۴.

قربانی، م. و رجب‌زاده، م.ع.، ۱۳۹۰، بررسی سنگ‌شناسی، ژئوشیمی و سال‌سنجدی ایزوتوپی مجموعه افیولیتی بندریار، جنوب کهنه‌ج، استان کرمان، مجله بلور‌شناسی و کانه‌شناسی ایران، دوره ۱۹، شماره ۴، ص. ۳۰۳-۶۱۴.

معین‌وزیری، ح.، عزیزی، ح.، مهرابی، ب.، ایزدی، ف.، ۱۳۸۷، ماگماتیسم الیگومن در زون تراست زاگرس (محور صحته-مریوان): دور دوم فرورانش نتوتیس در پالتوژن؛ *محله علوم دانشگاه تهران*، دوره ۳۴، شماره ۱، ص. ۱۱۳-۱۲۲.

References

- Allahyari, K., Saccani, E., Rahimzadeh, B., and Zeda, O., 2014. Mineral chemistry and petrology of highly magnesian ultramafic cumulates from the Sarve-Abad (Sawlava) ophiolites (Kurdistan, NW Iran): New evidence for boninitic magmatism in intra-oceanic fore-arc setting in the Neo-Tethys between Arabia and Iran. *Journal of Asian Earth Sciences* 79: 312-328. <https://doi.org/10.1016/j.jseas.2013.10.005>.
- Azizi, H., Lucci, F., Stern, R. J., Hasannejad, S., and Asahara, Y., 2018. The Late Jurassic Panjeh submarine volcano in the northern Sanandaj-Sirjan Zone, northwest Iran: Mantle plume or active margin?, *Lithos*, 308: 364-380. <https://doi.org/10.1016/j.lithos.2018.03.019>.
- Barnes, S. J., and Roeder, P. L., 2001. The range of spinel compositions in terrestrial mafic and ultramafic rocks. *Journal of Petrology* 42(12): 2279-2302. <https://doi.org/10.1093/petrology/42.12.2279>.
- Dick, H. J., and Bullen, T., 1984. Chromian spinel as a petrogenetic indicator in abyssal and alpine type peridotites and spatially associated lavas. *Contributions to Mineralogy and Petrology* 86(1): 54-76. <https://link.springer.com/article/10.1007%2FBF00373711>.
- Dilek, Y., and Furnes, H., 2014. Ophiolites and Their Origins. *Elements* 10(2): 93-100. <https://doi.org/10.2113/gselements.10.2.93>.
- Emami, M. H., Sadeghi, M. M., and Omrani, S. J., 1993. Magmatic Map of Iran 1: 1,000,000: Geological Survey of Iran, internal report.
- Farahat, E. S., 2008. Chrome-spinels in serpentinites and talc carbonates of the El Ideid-ElSodmein District, Central Eastern Desert, Egypt: Their metamorphism and petrogenetic implications. *Geochemistry* 68(2): 193-205. <https://doi.org/10.1016/j.chemer.2006.01.003>.
- Force, E. R., 1991. Geology of titanium-mineral deposits. *Geological Society of America* 259. DOI: <https://doi.org/10.1130/SPE259>.
- Ismail, S. A., Mirza, T. M., and Carr, P. F., 2010. Platinum-group elements geochemistry in podiform chromitites and associated peridotites of the Mawat ophiolite, northeastern Iraq. *Journal of Asian Earth Sciences* 37(1): 31-41. <https://doi.org/10.1016/j.jseas.2009.07.005>.
- Johnson, C., 2012. Podiform chromitite at Voskhod, Kazakhstan. PhD thesis, University of Cardiff, Wales, UK. <https://orca.cardiff.ac.uk/40714/>.

- Kamenetsky, V. S., Crawford, A. J., and Meffre, S., 2001. Factors controlling chemistry of magmatic spinel: an empirical study of associated olivine, Cr-spinel and melt inclusions from primitive rocks. *Journal of Petrology* 42(4): 655-671. <https://doi.org/10.1093/petrology/42.4.655>.
- Leblanc, M., and Violette, J. F., 1983. Distribution of aluminum-rich and chromium-rich chromite pods in ophiolite peridotites. *Economic Geology* 78(2): 293-301. <https://doi.org/10.2113/gsecongeo.78.2.293>.
- Mukherjee, R., Mondal, S. K., Frei, R., Rosing, M. T., Waight, T. E., Zhong, H., and Kumar, G. R., 2012. The 3.1 Ga Nuggihalli chromite deposits, Western Dharwar craton (India): geochemical and isotopic constraints on mantle sources, crustal evolution and implications for supercontinent formation and ore mineralization. *Lithos*, (155): 392-409. <https://doi.org/10.1016/j.lithos.2012.10.001>.
- Nicolas, A., 1989. Structure of Ophiolites and Dynamics of Oceanic Lithosphere. Kluwer Academic Publishers, Dordrecht. <https://doi.org/10.1007/978-94-009-2374-4>. Publisher: Springer Dordrecht. eBook Packages: Springer Book Archive.
- Pearce, T. H., Russell, J. K., and Wolfson, I., 1987. Laser-interference and Nomarski interference imaging of zoning profiles in plagioclase phenocrysts from the May 18, 1980, eruption of Mount St. Helens, Washington. *American Mineralogist* 72(11-12): 1131-1143.
- Rajabzadeh, M. A., 1998. Minéralisation en chromite et éléments du groupe du platine dans les ophiolites d'Assemion et de Neyriz, ceinture du Zagros, Iran. PhD Thesis, Institut National Polytechnique de Lorraine, France.
- Rajabzadeh, M. A., and Moosavinasab, Z., 2012. Mineralogy and distribution of platinum-group minerals (PGM) and other solid inclusions in the Neyriz ophiolitic chromitites, Southern Iran. *The Canadian Mineralogist* 50(3): 643-665. DOI: 10.3749/canmin.50.3.000.
- Rajish, K., Srivastava Chandra, R., and Shastry, A., 2004. High-Ti type N-MORB parentage of basalts from the south Andaman ophiolite, India. *Earth and Planetary Science Letters* 213(4): 605-618.
- Shafaii Moghadam, H., Li, Q. L., Stern, R. J., Chiaradia, M., Karsli, O., and Rahimzadeh, B., 2020. The Paleogene ophiolite conundrum of the Iran-Iraq border region. *Journal of the Geological Society* 177(5): 955-964. <https://doi.org/10.1144/jgs2020-009>.
- Shafaii Moghadam, H., Stern, R. J., and Chiaradia, M., 2013. Geochemistry and tectonic evolution of the Late Cretaceous Gogher-Bft ophiolite, Central Iran. *Lithos* 168: 33-47. <https://doi.org/10.1016/j.lithos.2013.01.013>.
- Tian, L., Castillo, P. R., Hawkins, J. W., Hilton, D. R., Hanan, B. H., and Pietruszka, A. J., 2008. Major and trace element and Sr-Nd isotope signatures of lavas from the central Lau Basin: implications for the nature and influence of subduction components in the back-arc mantle. *Volcanology and Geothermal Research* 178(4): 657-670. <https://doi.org/10.1016/j.jvolgeores.2008.06.039>.
- Uysal, I., Sadiklar, M. B., Tarkian, M., Karsli, O., and Aydin, F., 2005. Mineralogy and composition of the chromitites and their platinum-group minerals from Ortaca (SW Turkey): evidence for ophiolitic genesis. *Mineralogy and Petrology* 83(3-4): 219-242. DOI:10.1007/s00710-004-0063-3.
- Whitney, D. L., and Evans, B. W., 2010. Abbreviations for names of rock-forming minerals. *American Mineralogist* 95(1): 185-187. <https://doi.org/10.2138/am.2010.3371>.
- Zhou, M. F., and Kerrich, R., 1992. Morphology and composition of chromite in komatiites from the Belingwe greenstone belt, Zimbabwe. *The Canadian Mineralogist* 30(2): 303-317.
- Zhou, M. F., Robinson, P. T., Malpas, J., and Li, Z., 1996. Podiform chromitites in the Luobusa ophiolite (Southern Tibet): implications for melt-rock interaction and chromite segregation in the upper mantle. *Journal of Petrology* 37(1): 3-21. <https://doi.org/10.1093/petrology/37.1.3>.

Original Research Paper

Mineralization of chromite and ilmenite in Kurdistan ophiolite: An approach to determine the geotectonic setting

Mohammad Ali Rajabzadeh¹ and Mohammad Amini²

¹Department of Earth Sciences, Faculty of Science, Shiraz University, Shiraz, Iran

² School of Geology, Faculty of Science, University of Tehran, Tehran, Iran

ARTICLE INFO

Article history:

Received: 2021 October 22

Accepted: 2022 January 10

Available online: 2022 September 23

Keywords:

Mineralization

Chromite

Ilmenite

Ophiolite

Geotectonic setting

Kurdistan

ABSTRACT

This is the first report on the presence of podiform chromitite Lenses associated with the Marivan ophiolite. These ore deposits with granular massive fabric are hosted by dunite and harzburgite occurred in south Marivan city. Chemistry of chromian spinel in the chromite Lenses indicated that Cr# for two ore occurrences is high (0.85) with very low TiO₂, but for the other ore occurrence is lower (0.67) with higher TiO₂ (0.05). The finding shows that the chromite ore Lenses and consequently their host ophiolite were developed in two different geotectonical settings. Geochemical data indicated that some of the studied ore deposits occurred during the opening of oceanic crust in a Mid Oceanic Ridge setting from a tholeiitic magma while the others were fractionated from a boninitic melt in a Supra Subduction Zone. Formation of these ore Lenses and the host rocks occurred in response to the very fast divergence and then convergence of Neo-Tethys oceanic crust. A wide range of gabbros including coarse-grained gabbro, melagabbro and microgabbro host ilmenite, magnetite and titanite in three regions at the northwest of Kamyaran (Yakhtekhan village), the east of Sarvabad (Mianeh village) and the south of Marivan (Dragashikhan-Vyseh villages). Ilmenite is found in all the three regions, but magnetite and titanite are only found in the east of Sarvabad. Plagioclase (andesine-labradorite) and diopside, the main rock-forming minerals with minor augite, olivine and amphibole are the minerals of the host rocks. The chemical composition of the ilmenites showed that the average concentration of TiO₂ increases from Kamyaran (43.19 wt.%) to Sarvabad (46.09 wt.%) and then to Marivan (47.42 wt.%). These minerals occur as interstitial fine to medium grains (up to 1.5 mm) and often in the amoeboid, anhedral and to a lesser extent as subhedral forms. Based on textural and mineral chemistry evidence, mineralization of titanium occurred as the result of magma oxidation. The oxidation of magma resulted in the formation of iron-titanium immiscible liquid droplets, following the plagioclase crystallization.

* Corresponding author: Mohammad Ali Rajabzadeh; E-mail: mrajabzadeh@shirazu.ac.ir

E-ISSN: 2645-4963; Copyright©2021 G.S. Journal & the authors. All rights reserved.

 doi: 10.22071/GSJ.2022.308944.1941



dor: 10.1001.1.10237429.1401.32.3.5.9



This is an open access article under the by-nc/4.0/ License (<https://creativecommons.org/licenses/by-nc/4.0/>)